

Analytical forms of wave function and form factors of deuteron

V.I. Zhaba

Аналітичні форми хвильової функції та формфактори дейтрона

В.І. Жаба

Ужгородський національний університет
вул. Волошина, 54, 88000 Ужгород, Україна

Abstract

On the received coefficients of the analytical forms for deuteron wave function in coordinate representation in form $r^{l+1} * \exp(-A * r)$ for the modern realistic nucleon-nucleon potentials NijmI, NijmII, Nijm93, Reid93 and Argonne v18 are calculated charge $G_C(p)$, quadrupole $G_Q(p)$ and magnetic $G_M(p)$ deuteron form factors. An original dipole fit for proton and neutron isoscalar electric and magnetic form factors is used for calculations. Theoretical calculations of values of the deuteron form factor are compared with their experimental data of world collaborations (Bates, BLAST, Bonn, JLab, Mainz, Naval Research Lab, NIKHEF, Orsay, Saclay, SLAC, Stanford, VEPP3 and VEPP4) and reviews (Abbott, Boden, Garcon and Karpus). The change of the sign of form factors is in the pulse regions at 4.7-4.9 fm^{-1} for G_C ; at 12.8-14.7 fm^{-1} for G_Q ; at 6.3-8.1 and 11.4-12.2 fm^{-1} for G_M . The theoretical values for the form factors $G_Q(0)$ and $G_M(0)$ were calculated at the boundary condition for the momentum at $p^2=0$. Calculated positions of the zero for deuteron form factors are compared with values for other potential models. The peculiarities of parametrizations of deuteron form factors for theoretical approaches and fits of theoretical calculations to experimental values, which are described in the cited literature, are analyzed. Formulas for spherical and quadrupole form factors are written, which are expressed in terms of the coefficients for the indicated deuteron wave function. At large values of momentum the asymptotics of the deuteron form factors are determined by the coefficients of the analytical forms for deuteron wave function, nucleon isoscalar form factors and the order of momentum in the denominator. The further use of deuteron form factors for obtaining polarization observables in processes involving deuteron as a projectile is discussed.

Абстракт

По отриманим раніше аналітичним формам хвильової функції дейтрона в координатному представленні для сучасних реалістичних нуклон-нуклонних потенціалів NijmI, NijmII, Nijm93, Reid93 і Argonne v18 розраховано зарядовий G_C , квадрупольний G_Q і магнітний G_M формфактори дейтрона. Порівнюються теоретичні розрахунки з експериментальними даними провідних колаборацій (Bates, BLAST, Bonn, JLab, Mainz, Naval Research Lab, NIKHEF, Orsay, Saclay, SLAC, Stanford, VEPP3, VEPP4) та оглядів (Abbott, Boden, Garcon, Karpus). Розраховану позицію нуля формфакторів порівняно із значеннями для інших потенціальних моделей. При великих значеннях

імпульсу асимптотики формфакторів дейтрона G_i визначаються коефіцієнтами аналітичних форм хвильової функції дейтрона, нуклонними ізоскалярними формфакторами і степінню імпульсу в знаменнику.

Keywords: deuteron, wave function, form factor, position of the zero, asymptotic.

ключові слова: дейтрон, хвильова функція, формфактор, позиція нуля, асимптотика.

Вступ

Дейтрон є найпростішим ядром. Простота і наочність будови дейтрона робить його зручною лабораторією для вивчення і моделювання нуклон-нуклонних сил. На даний час дейтрон добре вивчений експериментально і теоретично [1, 2].

Теоретично визначені значення статичних характеристик дейтрона добре узгоджуються з наявними експериментальними даними. Однак незважаючи на це, існують певні теоретичні неузгодженості і проблеми. Наприклад, в деяких останніх роботах одна або обидві компоненти радіальної хвильової функції дейтрона (ХФД) в координатному представленні мають вузли поблизу початку координат. Існування вузлів у хвильових функціях основного і єдиного стану дейтрона свідчить про неузгодженості і неточності в реалізації чисельних алгоритмів в розв'язанні подібних задач [1, 2, 3]. Або це пов'язано з особливостями потенціальних моделей для опису дейтрона.

Слід зазначити, що такі потенціали нуклон-нуклонної взаємодії, як Боннський, Московський, потенціали Неймегенської групи [4], Argonne v18 [5], Парижський, NLO, NNLO, N³LO, Idaho N³LO чи Oxford мають досить непросту структуру і громіздку форму запису. Наприклад, оригінальний потенціал Reid68 був параметризований на основі фазового аналізу Неймегенської групою і отримав назву: оновлена регуляризована версія - Reid93.

Крім того, ХФД може бути представлена таблично: через відповідні масиви значень. При чисельних розрахунках оперувати такими масивами чисел іноді доволі складно і взагалі незручно. І сам текст програм для розрахунків є громіздкий, перевантажений і нечитабельним. Тому є доцільним отримання більш простих аналітичних форм представлення ХФД. У подальшому по них можна розрахувати формфактори і тензорну поляризацію, що характеризують структуру дейтрона.

ХФД у зручній формі необхідні для використання у розрахунках поляризаційних характеристик дейтрона, а також для оцінки теоретичних значень формфакторів дейтрона та порівняння їх з експериментальними даними.

Аналітичні форми хвильової функції дейтрона

В 2000-х рр. було застосовано аналітичні ХФД в координатному представленні. Серед них слід відмітити параметризації Дубовиченко [6], Бережний-Корда-Гах [7], а також параметризацію у такому простому виді [3]

$$\begin{cases} u(r) = r \sum_{i=1}^N A_i e^{-a_i r}, \\ w(r) = r^3 \sum_{i=1}^N B_i e^{-b_i r}. \end{cases} \quad (1)$$

Незважаючи на громіздкі і довготривалі розрахунки і мінімізації χ^2 (до величини менших за 10^{-4}), доводилося апроксимувати за допомогою (1) чисельні значення ХФД для потенціалів Неймегенської групи (NijmI, NijmII, Nijm93, Reid93) і потенціалу Argonne v18, масиви чисел яких становили відповідно по 839x2 і 1500x2 значень в інтервалі $r=0-25$ fm. Число доданків суми було вибрано $N=11$. Коефіцієнти A_i , a_i , B_i , b_i аналітичних форм (1) для потенціалів Неймегенської групи приведені в [3]. Розраховані ХФД не містять надлишкових вузлів поблизу початку координат. Розраховані по ХФД статичні параметри (радіус, електричний квадрупольний момент, магнітний момент, вклад D - стану та асимптотика D/S - стану) і тензорна поляризація t_{2i} узгоджуються з літературними теоретичними й експериментальними даними.

В [8] проведено детальний огляд аналітичних форм для хвильової функції дейтрона в координатному представленні. Приведено як аналітичні форми, так і параметризації ХФД, необхідні для подальших розрахунків характеристик процесів з участю дейтрона.

Формфактори дейтрона

Для кількісного розуміння структури дейтрона, S- і D- станів та поляризаційних характеристик розглядаються різні моделі NN потенціалу. Розподіл заряду дейтрона добре не відомий з експерименту, оскільки він здійснюється тільки через використання як вимірювань поляризації, так і неполяризованих пружних розсіяних диференціальних перерізів. Однак його можна визначити [9]. Диференціальний переріз пружного розсіяння неполяризованих електронів неполяризованими дейтронами без вимірювання поляризації відбитих електронів і дейтронів задається формулою у рамках припущень першого Борівського наближення і умов релятивістської інваріантності [10, 11, 12, 13]

$$\frac{d\sigma}{d\Omega_e} = \left(\frac{d\sigma}{d\Omega_e} \right)_{Mott} [A(p^2) + B(p^2)tg^2(\theta_e/2)], \quad (2)$$

де $\left(\frac{d\sigma}{d\Omega_e} \right)_{Mott}$ - переріз розсіяння на безспіновій безструктурній частинці, отриманий Моттом; θ_e - кут розсіяння електронів у лабораторній системі; p - переданий імпульс дейтрона в одиницях fm^{-1} ; $A(p)$ і $B(p)$ - функції електричної та магнітної структури:

$$A = G_C^2 + \frac{8}{9}\eta^2 G_Q^2 + \frac{2}{3}\eta G_M^2; \quad B = \frac{4}{3}\eta(1 + \eta) G_M^2, \quad (3)$$

де $\eta = \frac{p^2}{4m_d^2}$; $m_d=1875.63$ MeV - маса дейтрона. Тут зарядовий $G_C(p)$, квадрупольний $G_Q(p)$ і магнітний $G_M(p)$ формфактори містять інформацію про електромагнітні властивості дейтрона [13, 14]:

$$G_C = G_{END_C}; \quad G_Q = G_{END_Q}; \quad G_M = \frac{m_d}{2m_p} (G_{MND_M} + G_{END_E}), \quad (4)$$

де ізоскалярний електричний і магнітний формфактори

$$G_{EN} = G_{E_p} + G_{E_n}; \quad G_{MN} = G_{M_p} + G_{M_n}.$$

Складові формфакторів D_i визначаються по формулам

$$D_C = S_0^{(1)} + S_0^{(2)}; \quad D_Q = \frac{3}{\sqrt{2}\eta} \left(S_2^{(1)} - \frac{1}{\sqrt{8}} S_2^{(2)} \right); \quad (5)$$

$$D_M = 2 \left(S_0^{(1)} - \frac{1}{2} S_0^{(2)} + \frac{1}{\sqrt{2}} S_2^{(1)} + \frac{1}{2} S_2^{(2)} \right); \quad D_E = \frac{3}{2} \left(S_0^{(2)} + S_2^{(2)} \right), \quad (6)$$

де елементарні сферичні $S_0^{(i)}$ та квадрупольні $S_2^{(i)}$ формфактори [15, 16]

$$S_0^{(1)} = \int_0^\infty u^2 j_0 dr; \quad S_0^{(2)} = \int_0^\infty w^2 j_0 dr; \quad S_2^{(1)} = \int_0^\infty uw j_2 dr; \quad S_2^{(2)} = \int_0^\infty w^2 j_2 dr. \quad (7)$$

Тут u і w - радіальні ХФД в координатному представленні; j_0, j_2 - сферичні функції Бесселя нульового і другого порядку від аргументу $pr/2$; G_{E_p}, G_{E_n} (G_{M_p}, G_{M_n})- протонний і нейтронний ізоскалярний електричний (магнітний) формфактори, які виражені через оригінальне дипольне наближення [17]. Для формфакторів D_i виконуються умови при $p^2=0$ і $G_{EN}(0) = 1$; $G_{MN}(0) = \mu_p + \mu_n$

$$D_C(0) = 1; \quad D_Q(0) = m_d^2 Q_d; \quad D_M(0) = 2 - 3P_D; \quad D_E(0) = \frac{3}{2} P_D.$$

Причому тоді самі формфактори дейтрона рівні

$$G_C(0) = 1; \quad G_Q(0) = m_d^2 Q_d; \quad G_M(0) = \frac{m_d}{2m_p} \left((\mu_p + \mu_n)(2 - 3P_D) + \frac{3}{2} P_D \right),$$

де P_D, Q_d - вклад D - стану і електричний квадрупольний момент дейтрона:

Розраховані теоретичні значення $G_Q(0)$ і $G_M(0)$ для потенціалів Неймегенської групи потенціалів (NijmI, NijmII, Nijm93, Reid93) та потенціалу Argonne v18 (Av18) приведено в Таблиці 1. Експериментальні значення $G_Q(0)$ і $G_M(0)$ розраховані по формулам $G_Q(0) = m_d^2 Q_d$; $G_M(0) = m_d \mu_d / m_p$.

Таблиця 1. Значення $G_M(0)$ і $G_Q(0)$ для різних моделей

Потенціал	$G_M(0)$	$G_Q(0)$
NijmI, NijmII, Nijm93	1.6941; 1.6943; 1.6929	24.351; 24.214; 24.056
Reid93, Argonne v18	1.6936; 1.6929	23.947; 24.210
Bonn A, B, C, Q [12]	-	24.8; 25.1; 25.4; 24.7
Reid SC, Paris, Av18 [12]	-	25.2; 25.2; 24.1
NijmI, NijmII [18]	1.697/1.695; 1.700/1.695	24.8/24.6; 24.7/24.5
Paris, CD-Bonn [18]	1.696/1.694; 1.708/1.704	25.6/25.2; 24.8/24.4
Argonne18, JISP16 [18]	1.696/1.694; 1.720/1.714	24.7/24.4; 26.3/26.1
Moscow06, Moscow14 [18]	1.711/1.699; 1.716/1.700	24.5/24.2; 26.0/25.8
Idaho, eD [18]	1.714/1.700; 1.715/1.700	26.22/25.98; 25.83/25.54
Експеримент [12]	1.7135	25.833

Проведено порівняння з іншими теоретичними розрахунками. Причому дані з [18] вказані для релятивістських/нерелятивістських результатів обчислень.

На Рис. 1-3 приведено формфактори дейтрона $G_i(p)$, розраховані по ХФД (1) для потенціалів NijmI, NijmII, Nijm93, Reid93, Argonne v18 (позначення відповідно - N1, N2, N93, R93 і Av18). Порівнюються теоретичні розрахунки з експериментальними даними: для зарядового формфактору $G_C(p)$ - колаборацій Orsay [19], Bates [40, 23], JLab [9], NIKHEF [42], VEPP3 [43, 44, 45], VEPP4 [46], BLAST [47, 48] та оглядів Boden [39], Garcon [23] і Abbott [41]; для квадрупольного формфактору $G_Q(p)$ - колаборацій Orsay [19], Bates [40, 23], JLab [9], VEPP3 [43, 44, 45], VEPP4 [46], BLAST [47, 48] та оглядів Garcon [23] і Abbott [41]; для магнітного формфактору $G_M(p)$ - колаборацій Stanford [49, 50, 51], Orsay [19, 20], Naval Research Lab [52] та огляду Karpius [53]. Також експериментальні значення магнітного формфактору отримані для Mainz [21], Bonn [22], Saclay [24], SLAC [25, 26], використовуючи співвідношення між $G_M(p)$ та структурною функцією B .

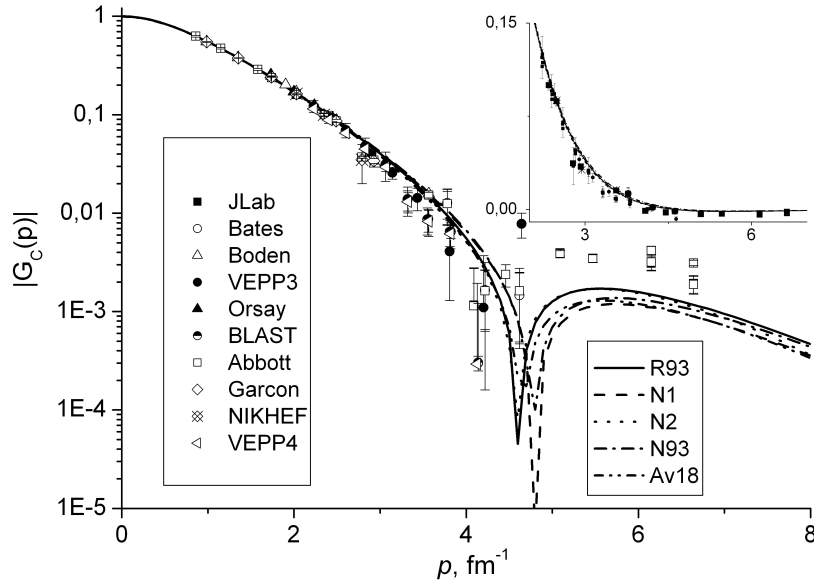


Рис. 1. Зарядовий формфактор $G_C(p)$.

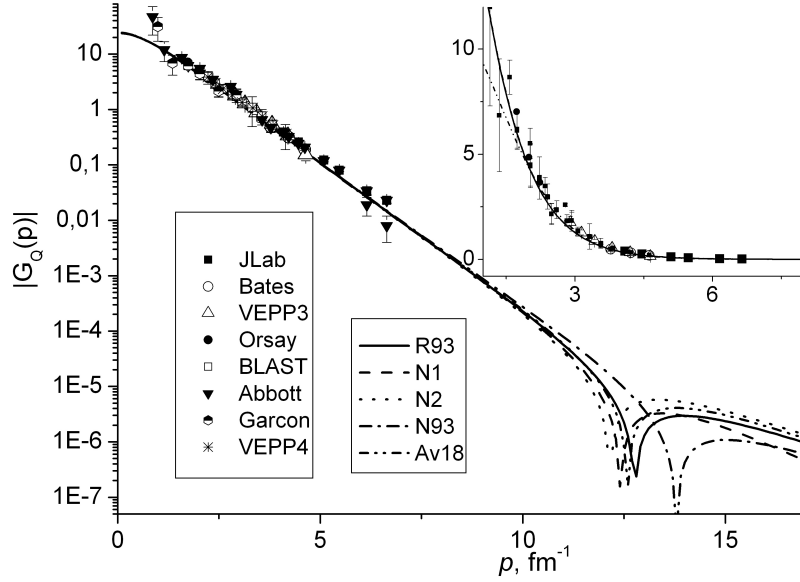


Рис. 2. Квадрупольний формфактор $G_Q(p)$

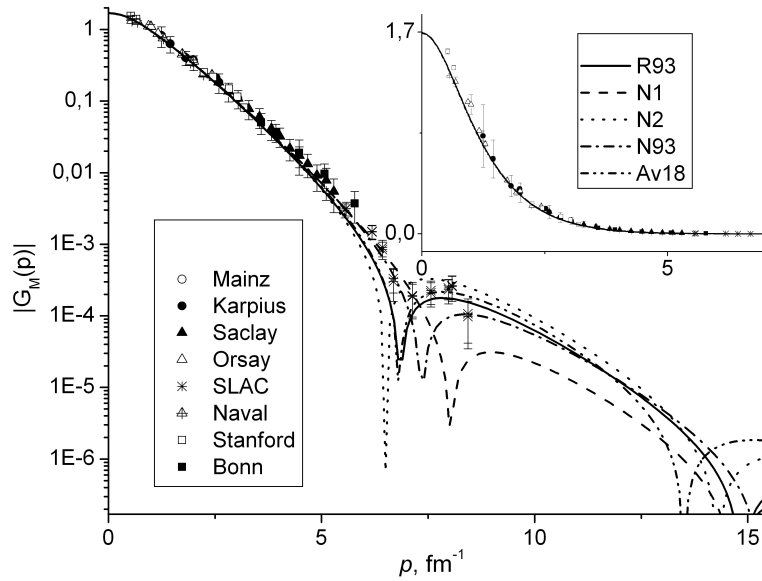


Рис. 3. Магнітний формфактор $G_M(p)$

Слід звернути увагу на знакозмінність формфакторів при $4.7-4.9 \text{ fm}^{-1}$ для $G_C(p)$; при $12.8-14.7 \text{ fm}^{-1}$ для $G_Q(p)$; при $6.3-8.1$ та $11.4-12.2 \text{ fm}^{-1}$ для $G_M(p)$.

Розрахована для потенціальних моделей позиція нуля зарядового формфактору $G_C(p_0)$ приведена в Таблиці 2. Отримані значення порівняно з даними для інших потенціальних моделей та з експериментальним значенням.

Позначення в Таблицях приведено згідно цитованої літератури.

Таблиця 2. Позиція нуля зарядового формфактору G_C

Потенціал	p_0, fm^{-1}
NijmI, NijmII, Nijm93	4.80; 4.60; 4.81
Reid93, Argonne v18	4.60; 4.71
Bonn-B, FULLF, ОБЕПФ [54]	4.28; 4.26; 4.10
5RM [13], 4RIA [23]	4.8-5.1; 4.3-4.6
Moscow, NijmI, NijmII [29]	4.1; 4.6; 4.4
CD-Bonn, Paris [29]	4.4; 4.9
TP [47], NijmI, NijmII [27]	4.19; 4.9; 4.7
CIA, RIA [28]	4.24-4.53
CD-Bonn, Paris, PIH [27], NIA [14]	5.2; 4.6; 4.3; 4.6
9RIA [30]	4.5; 9.2-12.3
9DWF [31], 5NC [42]	4.5-6.0; 3.8-4.7
IA AV14, IA+MEC AV14 [40]	4.5; 4.0
Paris, Av14, Bonn-E [23]	4.5; 4.4; 5.3
TCM [32], QCB82, QCB86 [33]	4.2; 4.4; 4.5
MMQCM [34], Graz-II [17]	4.5-5.2; 5.67
RIA [35]	4.5-5.2; 11.4-13
QCM [36]; ОБЕПQ-A, B, C [37]	4.4; 4.1-4.5
Експеримент [23]	4.30 ± 0.16

Позиції нуля для квадрупольного і магнітного формфакторів (Таблиці 3 і 4) знаходяться значно правіше, ніж для зарядового формфактору. На жаль, відсутні експериментальні значення для імпульсів більше 7 і 9 fm^{-1} для формфакторів G_Q і G_M відповідно.

Таблиця 3. Позиція нуля квадрупольного формфактору G_Q

Потенціал	p_0, fm^{-1}
NijmI, NijmII, Nijm93	12.4; 12.2; 13.8
Reid93, Argonne v18	12.8; 12.6
9RIA [30]	8.7-10.9
RIA [35]	8.9-12.2

Таблиця 4. Позиція нуля магнітного формфактору G_M

Потенціал	p_0, fm^{-1}
NijmI	8.0; 14.7
NijmII	6.5; 14.3
Nijm93	7.4; 15.3
Reid93	6.9; 14.9
Argonne v18	6.8; 13.5
Moscow, NijmI, NijmII [29]	5.3; 6.9; 6.0
CD-Bonn, Paris [29]	6.7; 5.8
9DWF [31], TCM [32]	5.5-7.5; 7.2
QCB82, QCB86 [33], QCM [36], NIA [14]	7.1; 7.2; 6.5; 6.6
5RM [13], MMQCM [34]	5.6-6.1; 6.8-7.5
RIA [35]	6.5; 11.1

Параметризація формфакторів дейтрона

У роботі [13] використовуються функції підгонки теоретичних розрахунків до експериментальних значень формфакторів дейтрона

$$G_C^{(fit)} = e^{-Q^2/3.5} F; \quad G_Q^{(fit)} = \frac{25.8298}{1.01} \left(e^{-Q^2} + 0.01e^{-Q^2/100} \right) F; \quad G_M^{(fit)} = 1.7487e^{-Q^2/2.5} F;$$

де $F = \left(1 + \frac{Q^2}{m\varepsilon}\right)^{-1} \left(1 + \frac{Q^2}{0.71}\right)^{-2}$; Q^2 - квадрат імпульсу в GeV^2 ; $m\varepsilon=0.05365$

GeV^2 . В [13] розрахунки формфакторів дейтрона по цим формулам дають задовільні значення відносно експериментальних даних тільки в області 0-0.5 GeV .

В огляді [41] наявні ще дві форми параметризації

$$G_i(p^2) = G_i(0) \left[1 - \left(\frac{p}{p_i^0} \right)^2 \right] \left[1 + \sum_{k=1}^5 a_{ik} p^{2k} \right]^{-1}; \quad \begin{pmatrix} G_C \\ G_Q \\ G_M \end{pmatrix} = G_D^2 \left(\frac{p^2}{4} \right) \cdot M(\eta) \begin{pmatrix} g_0 \\ g_1 \\ g_2 \end{pmatrix};$$

де амплітуди параметризовані у виді лоренціану $g_k = p^k \sum_{i=1}^4 \frac{a_{ki}}{\alpha_{ki} + p^2}$. Для

18 і 12 параметрів для кожного формфактора ці параметризації дали $\chi^2/N=1.5$ і 1.8 відповідно, де N - кількість експериментальних даних. Крім цього, параметризація формфакторів дейтрона у виді добутку гаусіана на суму (SOG) [55] була застосована для експериментальних даних огляду [41]. Для 33 параметрів цієї параметризації $\chi^2/N=1.5$.

В нерелятивістському імпульсному наближенні ведучі доданки формфакторів дейтрона визначаються коефіцієнтами розкладу (C_j, m_j) в координатному представленні та степінню імпульсу в знаменнику [38]

$$G_C^{NR} \sim - \frac{1}{p^3} (G_{Ep} + G_{En}) f(C_j, m_j); \quad G_Q^{NR} \sim - \frac{m_d^2}{p^7} (G_{Ep} + G_{En}) f(C_j, m_j); \quad (8)$$

$$G_M^{NR} \sim - \frac{1}{p^3} (G_{Mp} + G_{Mn}) f(C_j, m_j); \quad (9)$$

тобто головні члени розкладу зарядового і магнітного формфакторів дейтрона визначаються тільки S- станом хвильової функції дейтрона, а D- компонента дає додатковий вклад в головний доданок квадрупольного формфактору. Швидке спадання електричного нуклонного формфактору в порівнянні із магнітним призводить до швидшого спадання зарядового і квадрупольного формфакторів, ніж магнітного G_M . В релятивістському імпульсному наближенні формфактори дейтрона визначаються вищевказаним нерелятивістським набором формфакторів:

$$G_i^R \sim \sqrt{\frac{m_d}{p}} G_i^{NR}; i = \{C, Q, M\}.$$

Для ХФД (1) сферичні та квадрупольні формфактори (7) будуть записані у формі

$$S_0^{(1)} = 32 \sum_{i,j=1}^N \frac{A_i A_j a_{ij}}{(p^2 + 4a_{ij}^2)^2}; \quad S_0^{(2)} = 61440 \sum_{i,j=1}^N \frac{B_i B_j b_{ij} (3p^4 - 40b_{ij}^2 p^2 + 48b_{ij}^4)}{(p^2 + 4b_{ij}^2)^6}; \quad (10)$$

$$S_2^{(1)} = -3072 \sum_{i=1}^N \frac{A_i B_i (a_i + b_i) p^2}{(p^2 + 4(a_i + b_i)^2)^4}; \quad S_2^{(2)} = -98304 \sum_{i,j=1}^N \frac{B_i B_j b_{ij} p^2 (3p^2 - 28b_{ij}^2)}{(p^2 + 4b_{ij}^2)^6}; \quad (11)$$

де $a_{ij} = a_i + a_j$; $b_{ij} = b_i + b_j$. Тоді, враховуючи складові формфакторів D_i згідно (5) та (6), самі формфактори дейтрона G_i (4) матимуть наступні асимптотики при великих значеннях імпульсу

$$G_C \approx 32 G_{EN} \sum_{i,j=1}^N \frac{A_i A_j a_{ij}}{(p^2 + 4a_{ij}^2)^2}; \quad G_Q \approx -\frac{9216 G_{EN}}{\sqrt{2}\eta} \sum_{i=1}^N \frac{A_i B_i (a_i + b_i) p^2}{(p^2 + 4(a_i + b_i)^2)^4}; \quad (12)$$

$$G_M \approx \frac{m_d}{m_p} G_{MN} \left(32 \sum_{i,j=1}^N \frac{A_i A_j a_{ij}}{(p^2 + 4a_{ij}^2)^2} - \frac{3072}{\sqrt{2}} \sum_{i=1}^N \frac{A_i B_i (a_i + b_i) p^2}{(p^2 + 4(a_i + b_i)^2)^4} \right). \quad (13)$$

І, підставивши величинами G_{EN} , G_{MN} і η , можна записати асимптотики формфакторів дейтрона G_i для великих значень імпульсу у виді:

$$G_C \sim \frac{1}{p^8}; \quad G_Q \sim \frac{1}{p^{12}}; \quad G_M \sim \frac{1}{p^8}. \quad (14)$$

Отже, асимптотики формфакторів дейтрона визначаються коефіцієнтами аналітичних форм ХФД, нуклонними ізоскалярними електричним та магнітним формфакторами та степінню імпульсу в знаменнику. Крім цього, знаючи асимптотики формфакторів дейтрона, можна визначити їх вклад в структурні функції.

Висновки

Використовуючи відомі аналітичні форми ХФД в координатному представленні для потенціалів NijmI, NijmII, Nijm93, Reid93, Argonne v18, розраховано зарядовий G_C , квадрупольний G_Q і магнітний G_M формфактори дейтрона. Порівнюються теоретичні розрахунки з експериментальними даними провідних колаборацій (Bates, BLAST, JLab, Naval Research Lab, NIKHEF, Orsay, Stanford, VEPP3) та оглядів (Abbott, Boden, Garcon). Розраховану позицію нуля формфакторів порівняно з даними для інших потенціальних моделей.

При великих значеннях імпульсу асимптотики формфакторів дейтрона G_i (12)-(14) визначаються коефіцієнтами аналітичних форм ХФД, нуклонними ізоскалярними формфакторами, а також степінню імпульсу в знаменнику.

Знаючи формфактори дейтрона, можна визначити такі величини як функції електричної та магнітної структури $A(p)$ і $B(p)$, тензорні t_{2j} і векторні t_{1i} поляризації [13], тензорну аналізуючу здатність A_{yy} і векторні (тензорні) коефіцієнти передачі поляризації $k_a^{a'}$ ($k_{aa}^{a'a'}$) в рамках моделі обміну ω -мезоном [56], коефіцієнти спінової кореляції $C_{xz}^{(0)}$, $C_{zz}^{(0)}$ та тензорні асиметрії $A_{xx}^{(0)}$, $A_{xz}^{(0)}$, $A_{zz}^{(0)}$ для пружного лептон-дейтронного розсіяння в межах нульової лептонної маси [57] та інші поляризаційні спостережувані в процесах за участю дейтрона.

Отримані результати дозволяють в подальшому вивчити електромагнітну структуру дейтрона, диференціальний переріз подвійного розсіяння, а також обчислювати теоретичні значення зарядового і магнітного радіусів дейтрона [37] та спінових спостережуваних dp -розсіяння.

Література

- [1] *I. Гайсак, В. Жаба*, Вісник Львів. ун-ту: Серія фізична **44**, 8 (2009).
- [2] *I.I. Гайсак, В.І. Жаба*, Науковий вісник Ужгород. ун-ту. Серія Фізика. **36**, 100 (2014).
- [3] *V.I. Zhaba*, e-print arXiv:nucl-th/1603.05174.
- [4] *V.G.J. Stoks et al.*, Phys. Rev. C **49**, 2950 (1994).
- [5] *R.B. Wiringa et al.*, Phys. Rev. C **51**, 38 (1995).
- [6] *S.B. Dubovichenko*, Phys. Atom. Nucl. **63**, 734 (2000).
- [7] *Yu.A. Berezhtnoy et al.*, Intern. Jour. Mod. Phys. E **14**, 1073 (2005).
- [8] *V.I. Zhaba*, e-print arXiv:nucl-th/1706.08306.
- [9] *D. Abbott et al.*, Phys. Rev. Lett. **84**, 5053 (2000).
- [10] *J.E. Elias et al.*, Phys. Rev. **177**, 2075 (1969).
- [11] *S. Galster et al.*, Nucl. Phys. B **32**, 221 (1971).
- [12] *M. Garcon, J.W. van Orden*, Adv. Nucl. Phys. **26**, 293 (2001).
- [13] *R. Gilman, F. Gross*, J. Phys. G **28**, R37 (2002).
- [14] *C. Adamuscin et al.*, Phys. Rev. C **78**, 025202 (2008).
- [15] *V.P. Ladygin, N.B. Ladygina*, Phys. Atom. Nucl. **65**, 182 (2002).

- [16] *M.N. Platonova, V.I. Kukulin*, Phys. Rev. C **81**, 014004 (2010).
- [17] *A. Bekzhanov et al.*, Nucl. Phys. B (Proc. Suppl.) **245**, 65 (2013).
- [18] *N.A. Khokhlov*, e-print arXiv:nucl-th/1612.08172.
- [19] *D. Benaksas et al.*, Phys. Rev. **148**, 1327 (1966).
- [20] *B. Grossetete et al.*, Phys. Rev. **141**, 1425 (1966).
- [21] *G.G. Simon et al.*, Nucl. Phys. A **364**, 285 (1981).
- [22] *R. Cramer et al.*, Z. Phys. C **29**, 513 (1985).
- [23] *M. Garcon et al.*, Phys. Rev. C **49**, 2516 (1994).
- [24] *S. Auffret et al.*, Phys. Rev. Lett. **54**, 649 (1985).
- [25] *R.G. Arnold et al.*, Phys. Rev. Lett. **58**, 1723 (1987).
- [26] *P.E. Bosted et al.*, Phys. Rev. C **42**, 38 (1990).
- [27] *А.Ф. Крутов*, Теор. физика **3**, 5 (2002).
- [28] *J.W. van Orden et al.*, Few-Body Syst. Suppl. **9**, 415 (1995).
- [29] *N.A. Khokhlov, A.A. Vakulyuk*, Phys. Atom. Nucl. **78**, 92 (2015).
- [30] *D.G. Arnold et al.*, Phys. Rev. C **21**, 1426 (1980).
- [31] *L. Mathelitsch, H.F.K. Zingl*, Nuovo Cimento A **44**, 81 (1978).
- [32] *E. Tomasi-Gustafsson et al.*, Phys. Rev. C **73**, 045204 (2006).
- [33] *H. Dijk, B.L.G. Bakker*, Nucl. Phys. A **494**, 438 (1989).
- [34] *H. Ito, A. Faessler*, Nucl. Phys. A **470**, 626 (1987).
- [35] *М.А. Браун, М.В. Токарев*, ФЭЧАЯ **22**, 1237 (1991).
- [36] *A. Faessler et al.*, Intern. Jour. Mod. Phys. E **2**, 39 (1993).
- [37] *H. Arenhovel et al.*, Phys. Rev. C **61**, 034002 (2000).
- [38] *А.Ф. Крутов и др.*, Теор. физика **6**, 71 (2005).
- [39] *B. Boden et al.*, Z. Phys. C **49**, 175 (1991).
- [40] *I. The et al.*, Phys. Rev. Lett. **67**, 173 (1991).
- [41] *D. Abbott et al.*, Eur. Phys. J. A **7**, 421 (2000).
- [42] *M. Bouwhuis et al.*, Phys. Rev. Lett. **82**, 3755 (1999).
- [43] *D.M. Nikolenko et al.*, Phys. Rev. Lett. **90**, 072501 (2003).

- [44] *D.M. Nikolenko et al.*, Phys. Atom. Nucl. **73**, 1322 (2010).
- [45] *С.А. Зеваков и др.*, Упругое и неупругое рассеяние электрона на тензорно-поляризованном дейтроне, Препринт ИЯФ 2006-024, Новосибирск, 2006, с. 28.
- [46] *D. Toporkov*, Int. J. Mod. Phys. Conf. Ser. **40**, 1660004 (2016).
- [47] *M. Kohl*, Nucl. Phys. A **805**, 361 (2008).
- [48] *C. Zhang et al.*, Phys. Rev. Lett. **107**, 252501 (2011).
- [49] *J. Goldemberg, C. Schaerf*, Phys. Rev. Lett. **12**, 298 (1964).
- [50] *R.E. Rand et al.*, Phys. Rev. Lett. **18**, 469 (1967).
- [51] *R.E. Rand et al.*, Phys. Rev. D **8**, 3229 (1973).
- [52] *E.C. Jones et al.*, Phys. Rev. C **21**, 1162 (1980).
- [53] P. Karpus, Vector Polarization Observables of the Deuteron and A New Measurement of the Magnetic Dipole Form Factor GM, Ph.D. thesis, University of New Hampshire, Durham, 2005, p. 137.
- [54] *W. Plessas et al.*, Few-Body Syst. Suppl. **9**, 429 (1995).
- [55] *I. Sick*, Nucl. Phys. A **218**, 509 (1974).
- [56] *M.P. Rekalo*, Phys. Rev. C **54**, 3125 (1996).
- [57] *G.I. Gakh et al.*, Phys. Rev. C **90**, 064901 (2014).